



Cécile POUZET\*, Christian BRIÈRE\*\* et Alain JAUNEAU\*  
[jauneau@lrsv.ups-tlse.fr](mailto:jauneau@lrsv.ups-tlse.fr), 05.34.32.38.37 \*FR-AIB 3450 CNRS, Plateforme de  
microscopie FRAIB \*\* Laboratoire de Recherche en Sciences Végétales,  
LRSV – UMR 5546 UPS-CNRS, Campus INRA 24, chemin de Borde-Rouge BP  
42617 Auzeville, 31326 Castanet-Tolosan.

# FLUORESCENCE LIFETIME: DURÉE DE VIE D'UN FLUOROPHORE à L' ÉTAT EXCITÉ

**Le FLIM:** Fluorescence lifetime imaging microscopy

**Le FRET en FLIM:** Mise en évidence des interactions entre protéines,  
entre protéine et ADN.



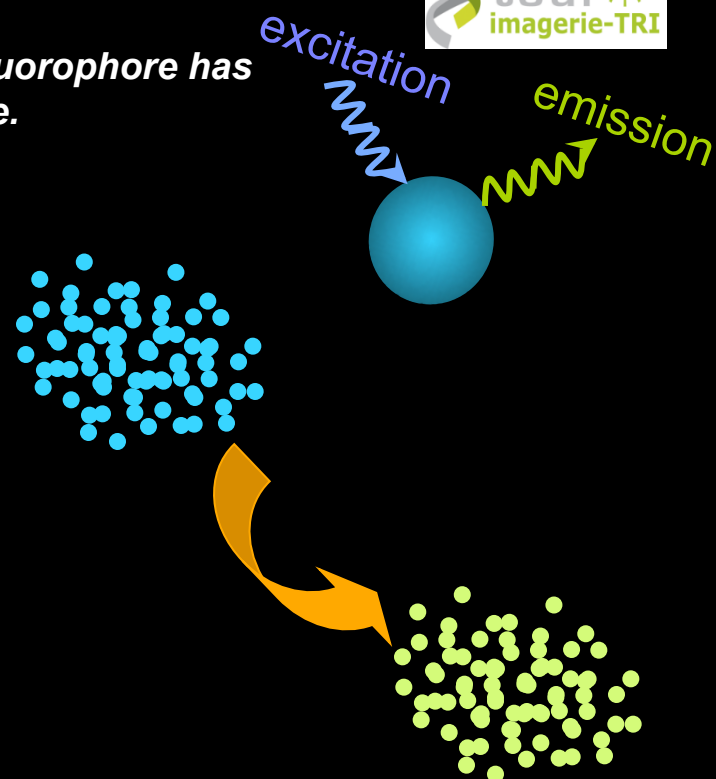
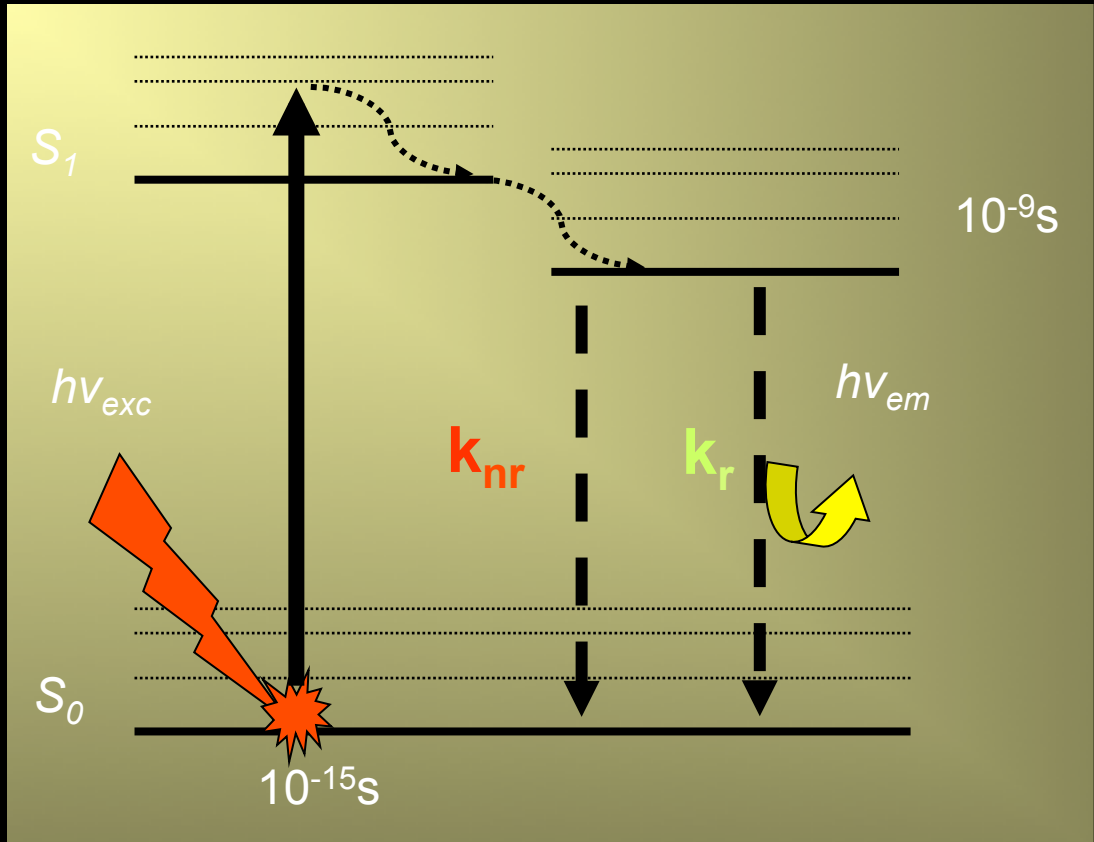
ISO9001:2008  
NF X 50-900



# RAPPELS

## FLIM: Physical meaning of $\tau$ .

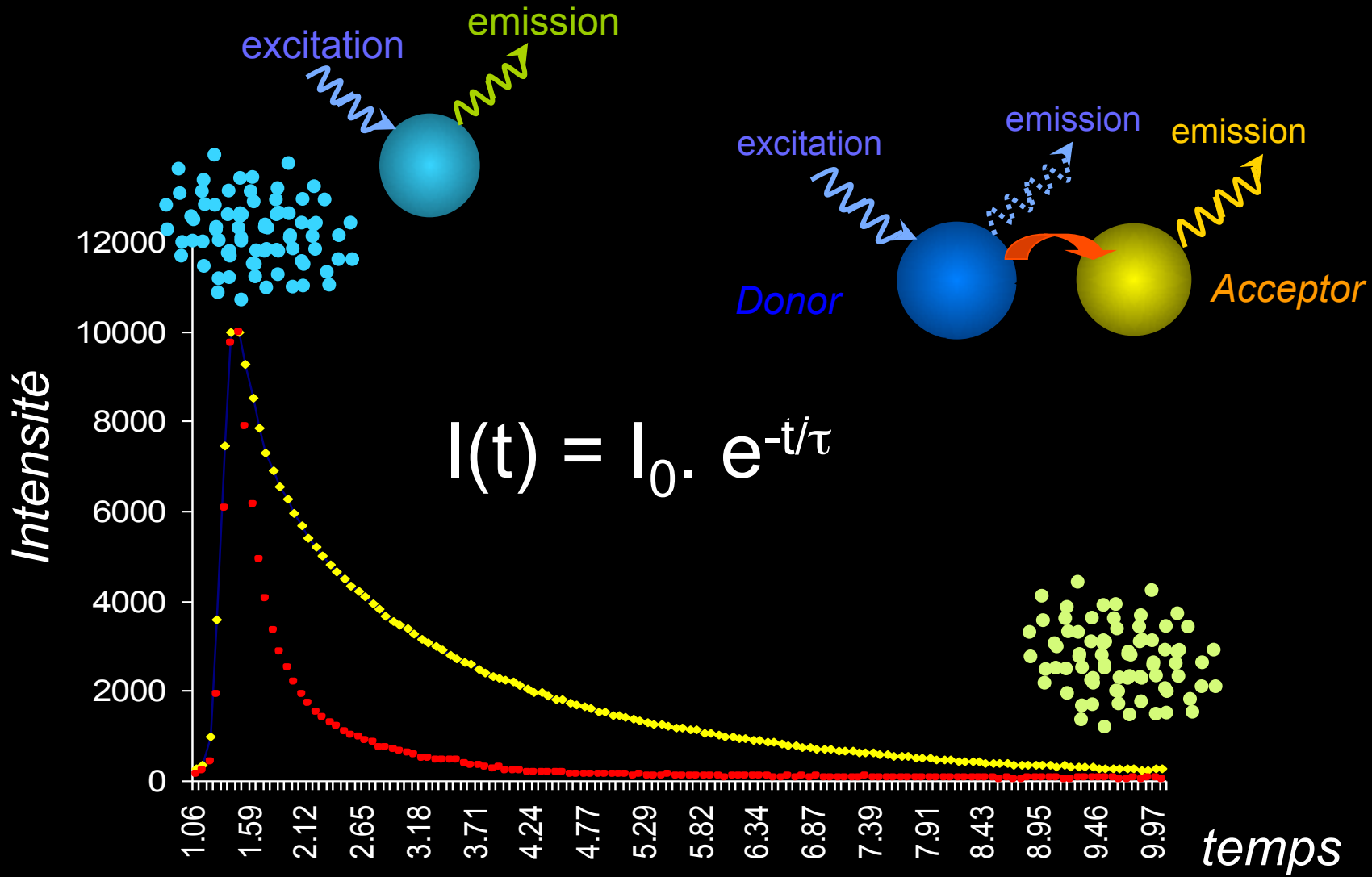
Emission of fluorescence is a statistical process. Each excited fluorophore has an equal probability of emitting a photon in a given period of time.



$$\frac{dN(t)}{dt} = -(k_r + k_{nr}) \cdot N(t)$$

$$\tau = 1 / (k_r + k_{nr})$$

$$\frac{dI(t)}{dt} = -(k_r + k_{nr} + k_{FRET}).I(t)$$



# FLUORESCENCE LIFETIME MICROSCOPY – STREAK FLIM SYSTEM



Maud Bernoux *et al.* **Plant Cell**. 2008  
Solène Froidure *et al.*, **PNAS**, 2010.  
Céline Tasset, *et al.*, **PlosPathogens**. 2010.  
Alexandre Perochon, *et al.*, **BBRC** 2010.  
Joanne Canonne *et al.*, **Plant Cell**, 2011.  
Katharina Heidrich *et al.*, **Science** 2011.  
Rivas *et al.* **Nature Comm** 2013  
Cesari *et al.*, **Plant Cell** 2013

Rose Boutros *et al.* **Biol Cell**. 2011  
Yvan Canitrot *et al.*, **JCB**. 2012

Novaleads (2010-2011)  
LED – LAAS (2013)

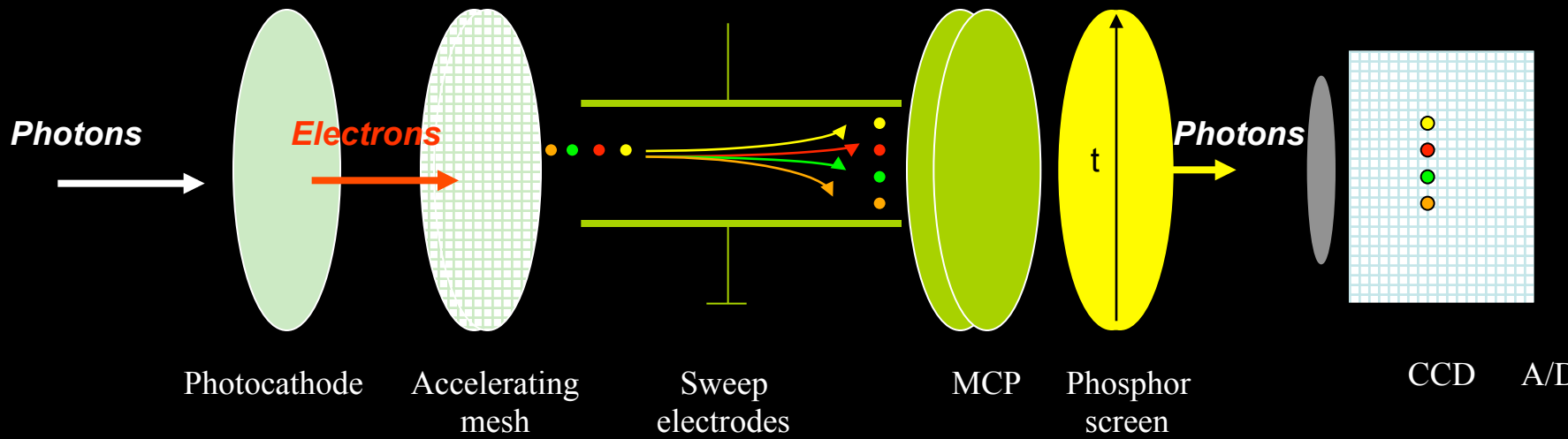
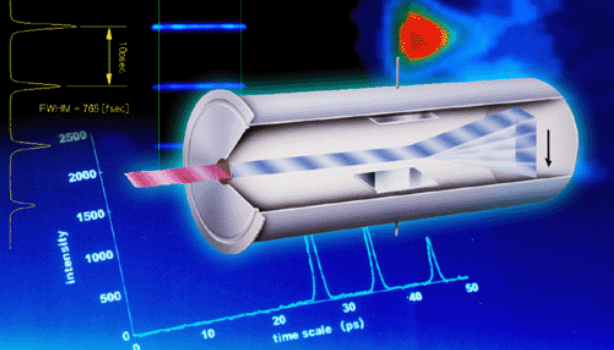


# STREAK-FLIM SYSTEM

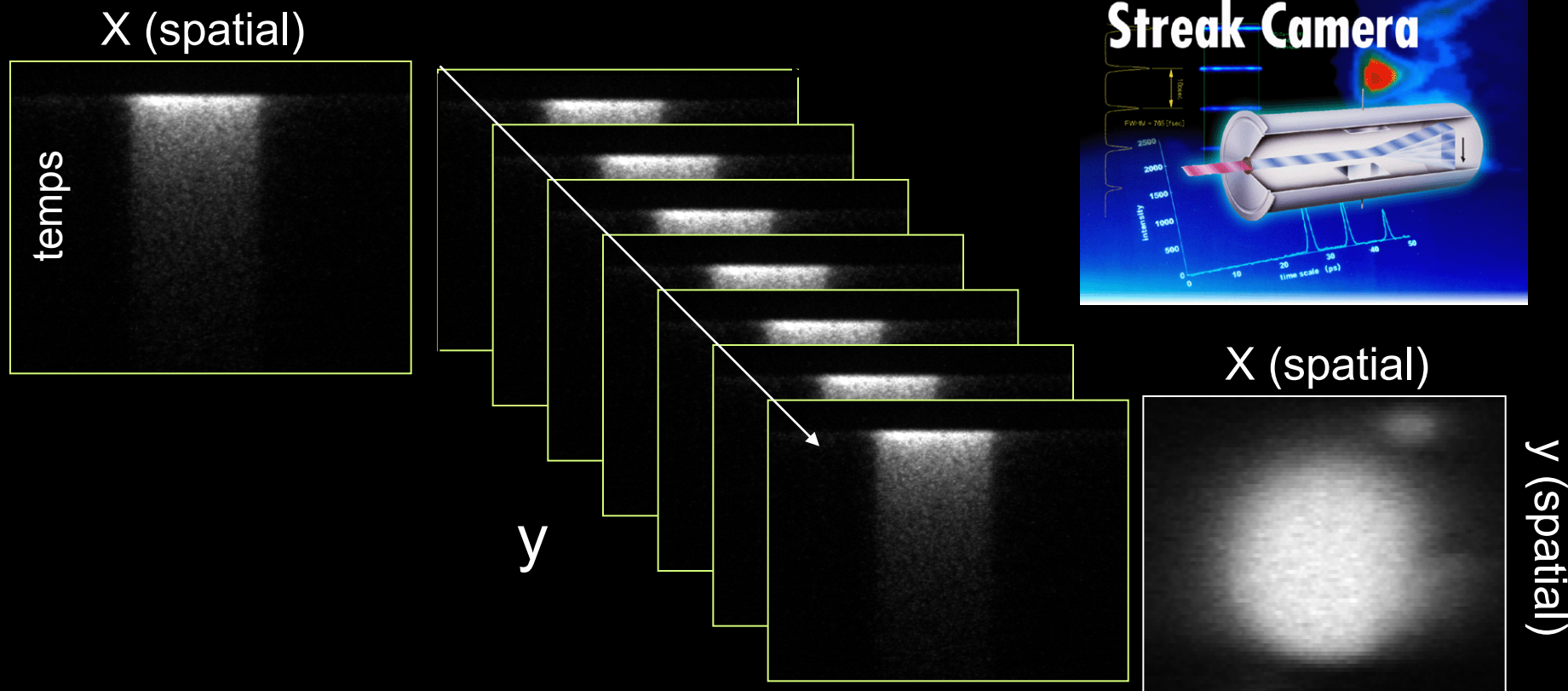


HAMAMATSU

## Streak Camera

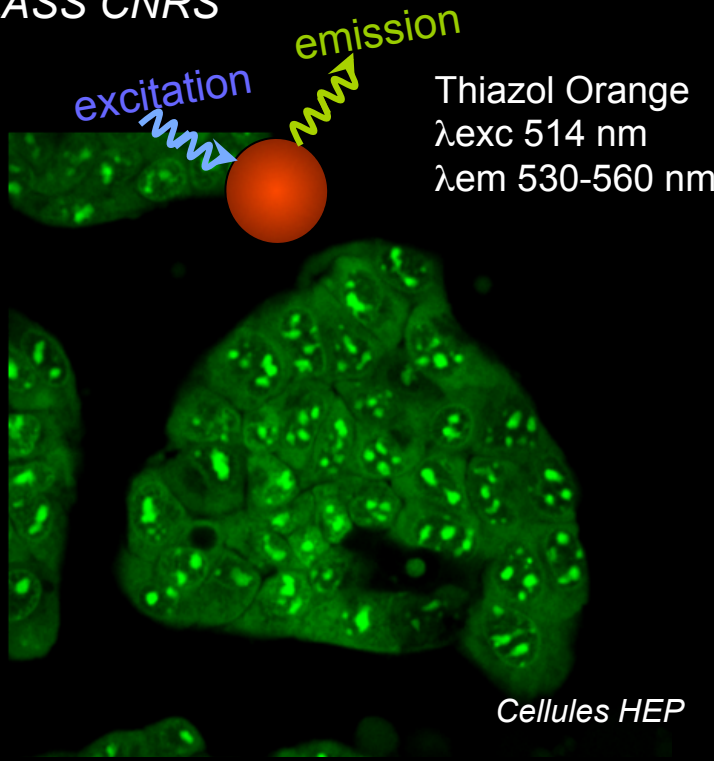


# STREAK-FLIM SYSTEM



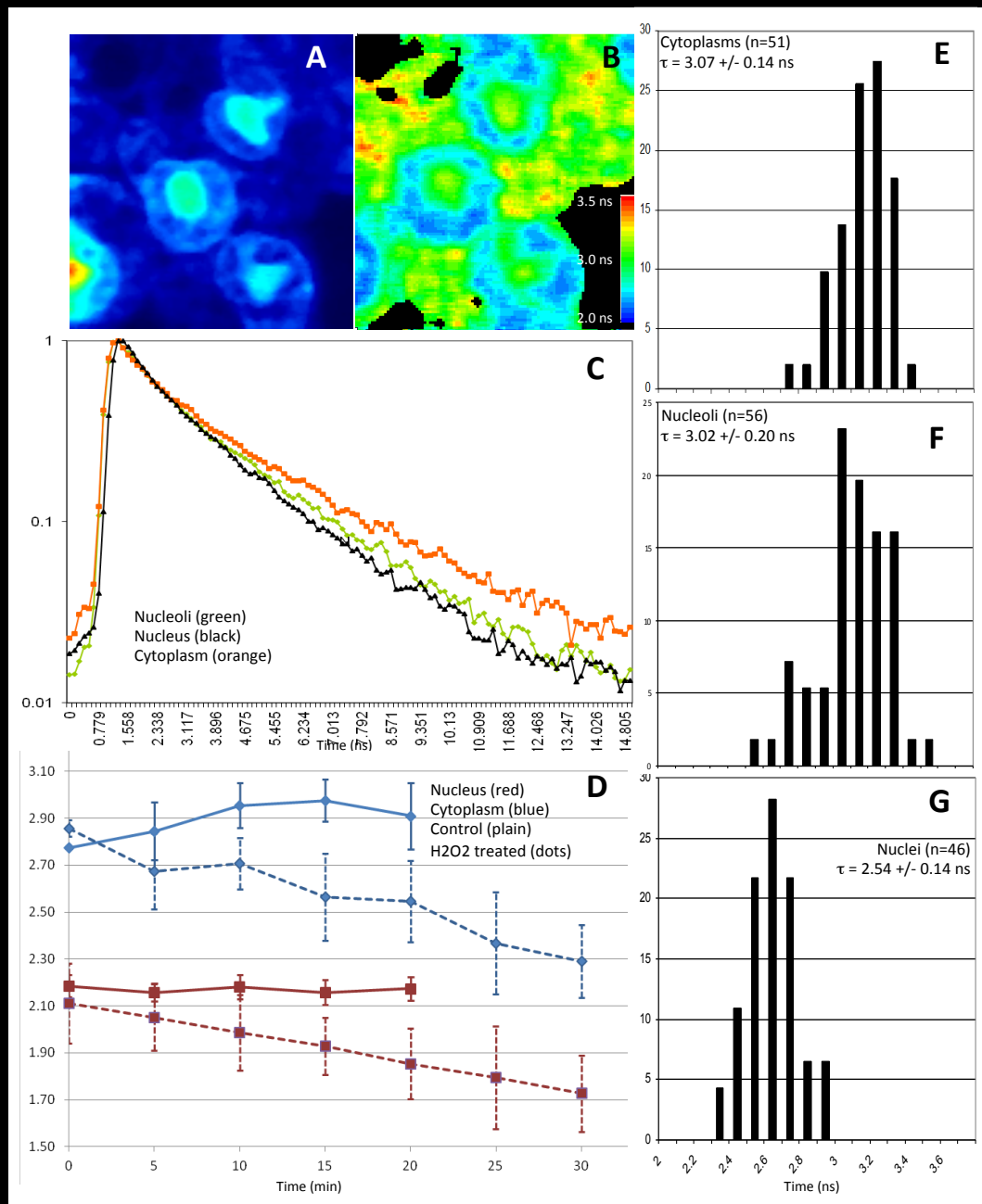
# ASSAY FOR TOXICITY EVALUATION IN LIVE CELLS

Coll. Christophe FURGER LED  
LASS CNRS



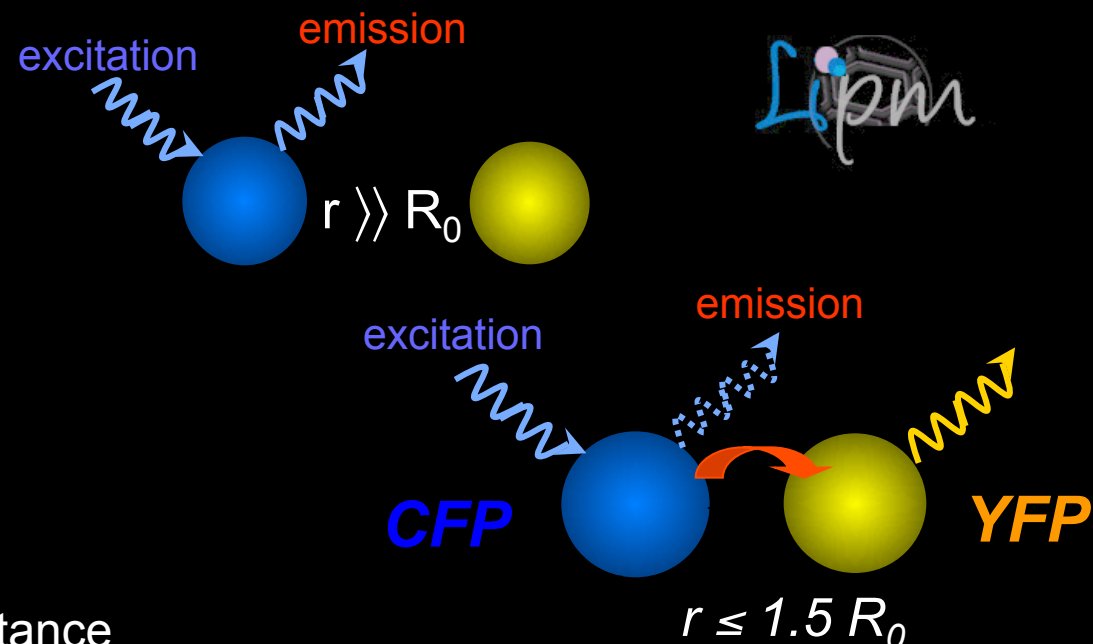
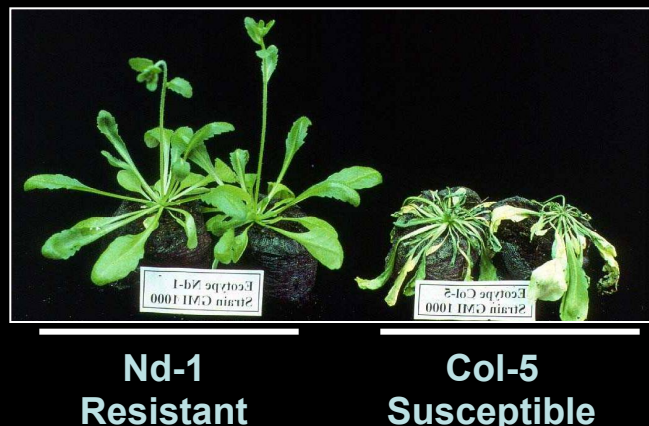
La durée de vie,  $\tau$ , du thiazol orange est différente selon le compartiment cellulaire.

La durée de vie,  $\tau$ , du thiazol orange diminue lorsque les cellules sont en présence d'un composé toxique.



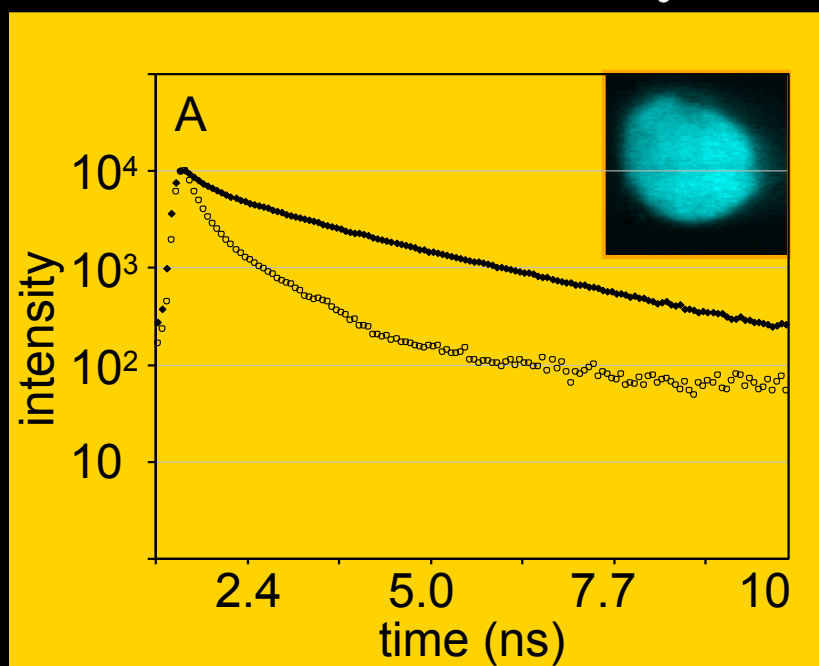
# INTERACTIONS ENTRE PROTEINES IN PLANT CELLS

GMI1000 Inoculation



Identification de protéines de résistance  
RRS1-R (*Résistance à Ralstonia solanacearum*)

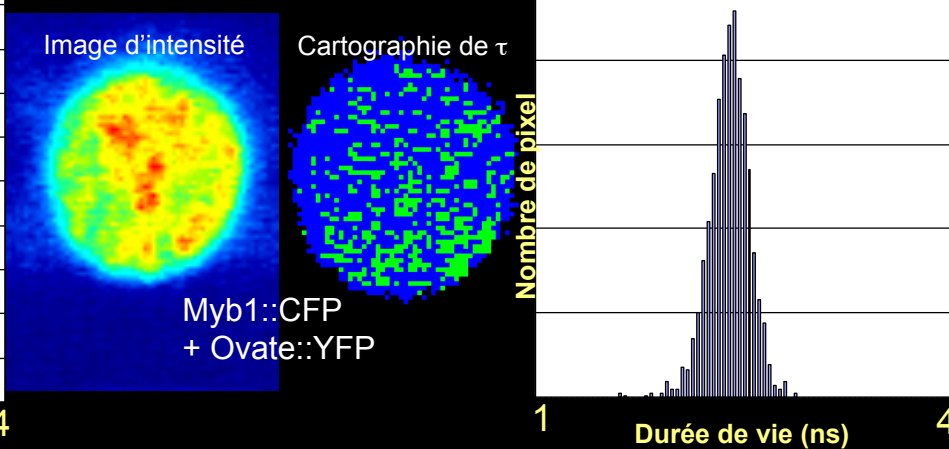
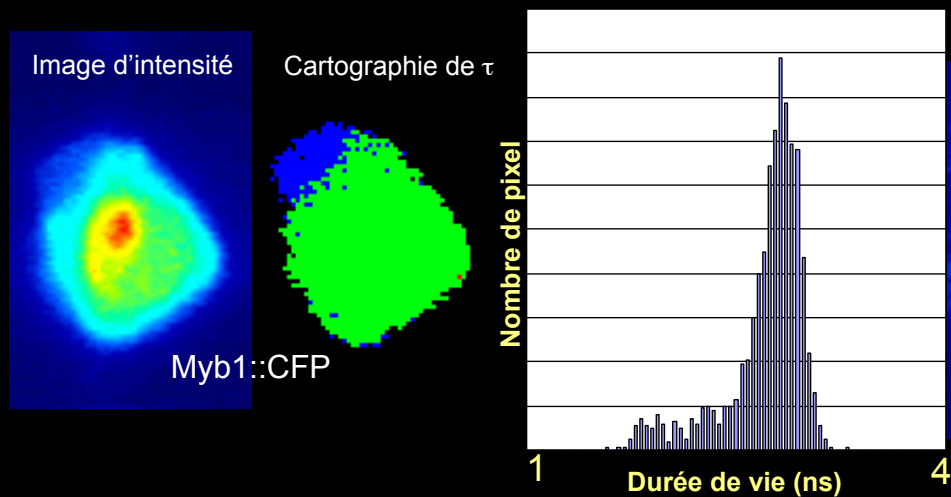
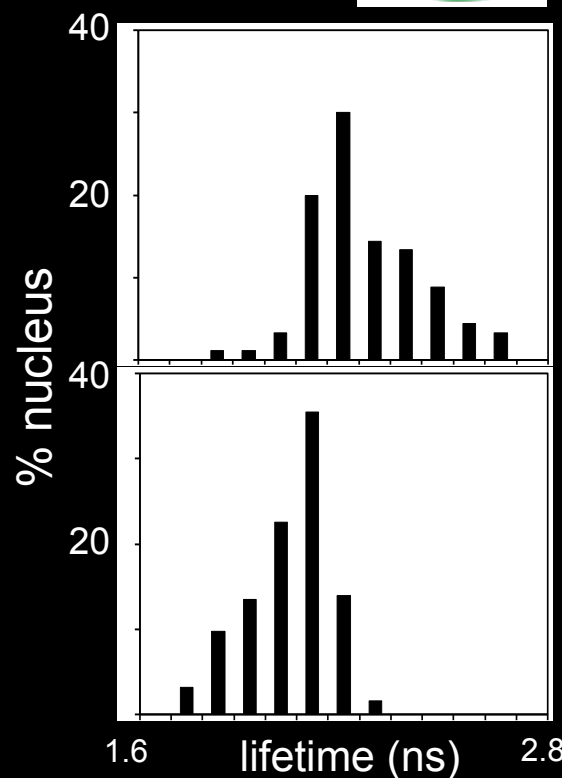
Maud Bernoux *et al.*, **Plant Cell**, 2008.  
Solène Froidure *et al.*, **PNAS**, 2010.  
Céline Tasset, *et al.*, **PlosPathogens**, 2010.  
Alexandre Perochon, *et al.*, **BBRC** 2010.  
Joanne Canonne *et al.*, **Plant Cell**, 2011.  
Katharina Heidrich *et al.*, **Science** 2011.  
Rivas *et al.*, **Nature Comm** 2013.  
Cesari *et al.*, **Plant Cell** 2013.  
Villarrasa-Blasi *et al.*, **Developmental Cell** 2014.



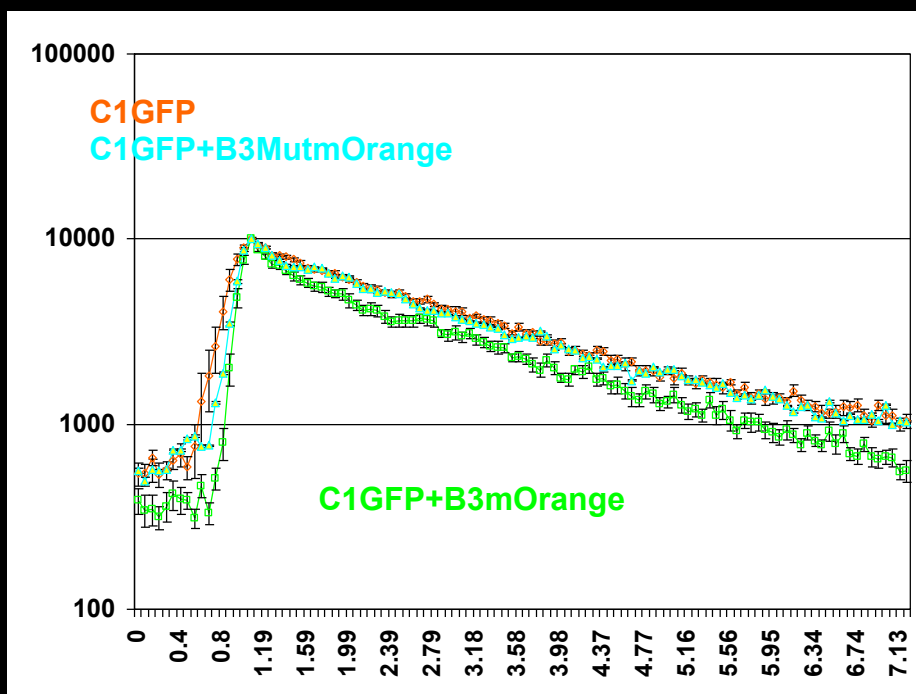
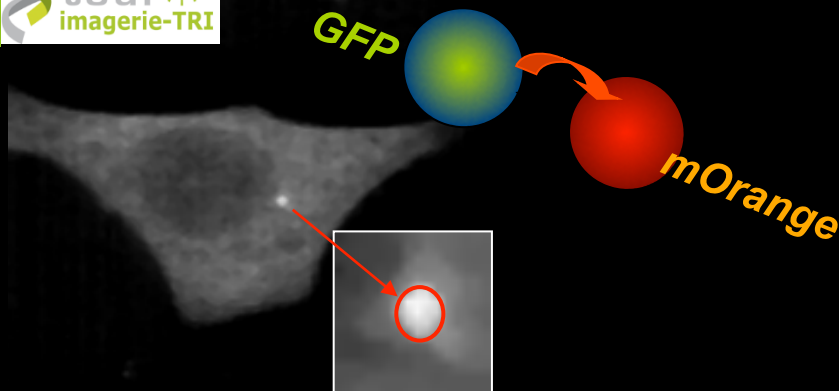
# INTERACTIONS ENTRE PROTEINES IN PLANT CELLS

Les contrôles positifs, les contrôles négatifs

Donor	Acceptor	$\tau_m$ moyen ns	sem	NB	FRET %	p-value
MybX CFP	-	2.580	0.026	107	-	-
MybX CFP	O- YFP	2.052	0.029	70	20	$3.910^{-27}$
MybX CFP	Histone YFP	2.161	0.051	58	16	$2.8 \cdot 10^{-13}$
MybX CFP	35S YFP	2.566	0.029	56	-	0.75
Myb96 CFP	-	2.647	0.053	54	-	-
Myb96 CFP	O- YFP	2.568	0.064	28	-	0.36
Myb96 CFP	Histone YFP	2.693	0.046	38	-	0.56



# INTERACTIONS ENTRE PROTEINES IN HUMAN CELLS



Rose Boutros *et al.* Biol Cell. 2011  
Yvan Canitrot *et al.*, JCB. 2012

